



# Análise Numérica da Tribocorrosão em Aço Carbono Estrutural: Desenvolvimento e Aplicação de um Modelo Baseado em Elementos Finitos

Pedro Bampa Leme, PPGEM - Aeronáutica, EESC-USP, pedrobleme@usp.br Marcelo Leite Ribeiro, SAA-EESC-USP, malribei@usp.br

#### RESUMO EXPANDIDO

O presente trabalho tem por objetivo a simulação do processo de tribocorrosão por meio do método dos elementos finitos. O modelo desenvolvido busca predizer a perda de material decorrente da ação combinada de desgaste mecânico e corrosão, permitindo quantificar a degradação em diferentes condições de operação e comparar diretamente os resultados numéricos com dados experimentais.

A formulação proposta foi implementada em uma sub-rotina de material do tipo VUMAT, desenvolvida em Fortran e integrada ao software Abaqus/Explicit. Essa integração possibilitou a execução das simulações e a visualização da evolução dos campos de dano e da perda de material ao longo do tempo, representando de forma contínua o processo de deterioração.

Foram consideradas duas relações clássicas de degradação. A taxa de penetração da corrosão foi descrita com base no desenvolvimento da Lei de Faraday (Stansbury, 2000):

$$CPR \ [\mu m/ano] = 0.327 \cdot \frac{M \cdot i_{corr}}{m\rho}$$
 (1)

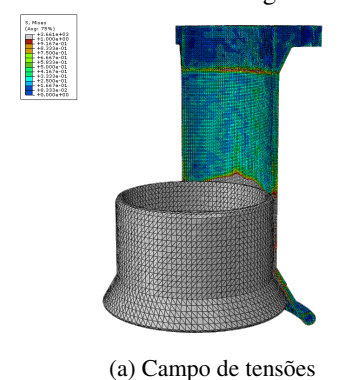
Já a remoção de material por desgaste foi modelada pela equação de Archard (Archard, 1953):

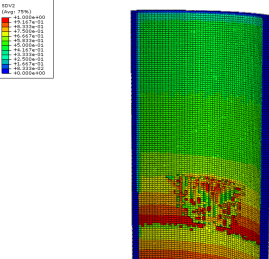
$$\frac{dV_w}{ds} = \frac{K \cdot F_N}{H} \tag{2}$$

A formulação numérica do algoritmo é estruturada a partir da mecânica do dano contínuo, na qual o volume de material degradado é convertido em um parâmetro escalar de dano, associado a cada elemento da malha (Lemaitre and Chaboche, 1990). Esse parâmetro reduz progressivamente as propriedades mecânicas do elemento e, ao atingir valor máximo, leva à sua remoção. Dessa forma, o modelo representa de maneira contínua e cumulativa a perda de rigidez e de massa do material.

A distribuição espacial do dano foi tratada com a estatística de Weibull, permitindo reproduzir padrões localizados (pitting) ou uniformes. Também foi considerado o efeito da proteção catódica em partes do modelo, em que a taxa de corrosão é afetada pela distância da aplicação de corrente na flange (componente superior da Figura 1a).

Figura 1: Propagação de dano na estrutura

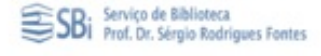




(b) Dano por tribocorrosão

Para reduzir a dependência da malha, adotou-se uma abordagem não local, na qual os parâmetros de evolução do dano são reavaliados com base na média ponderada dos elementos vizinhos (Ma et al., 2018). Essa técnica suaviza a resposta numérica e confere maior realismo físico aos resultados.

As simulações demonstraram a capacidade do modelo em prever a evolução da tribocorrosão. No caso apresentado (Figura 1), correspondente a um período de 30 anos, observou-se a propagação gradual do dano e a remoção contínua de







material. Foi possível visualizar a progressão dos campos de dano, quantificar a perda de massa e acompanhar a redução de rigidez estrutural ao longo do tempo. A integração da sub-rotina VUMAT ao Abaqus/Explicit mostrou-se robusta, fornecendo resultados consistentes e estabelecendo base sólida para futuras validações experimentais.

### REFERÊNCIAS

Archard, J. F. (1953). Contact and rubbing of flat surfaces. Journal of Applied Physics, 24:981–988.

Lemaitre, J. and Chaboche, J.-L. (1990). Mechanics of solid materials. Cambridge University Press.

Ma, S., Zhou, B., and Markert, B. (2018). Numerical simulation of the tissue differentiation and corrosion process of biodegradable magnesium implants during bone fracture healing. *ZAMM - Journal of Applied Mathematics and Mechanics*, 98:2223–2238.

Stansbury, E. (2000). Fundamentals of electrochemical corrosion. ASM International.

#### **AGRADECIMENTOS**

Agradecimentos à Coordenação de Aperfeiçoamento de Pessoal de Nível Superior - Brasil (CAPES) pela concessão da bolsa de mestrado - Processo 88887.956458/2024-00.

## RESPONSABILIDADE PELAS INFORMAÇÕES

Os autores são os únicos responsáveis pelas informações incluídas neste trabalho.